

## ساخت نانوذرات استرانسیوم تیتانات و بررسی توانایی آنها در تولید

## گونه‌های فعال اکسیژن در پرتودهی UVA

## چکیده

**اهداف:** فتودینامیک‌تراپی (Photodynamic Therapy - PDT) یک روش درمانی است که بر پایه تعامل بین یک حساس‌گر نوری، نور و اکسیژن مبتنی است. در این روش، ابتدا یک ماده حساس به نور که در سلول‌های سرطانی جذب می‌شود، با استفاده از منبع نور مناسب تحریک‌شده و گونه‌های فعال اکسیژن تولید می‌شوند که با تخریب سلول‌های سرطانی، باعث مرگ و مهار آن‌ها می‌شوند. گونه‌های فعال اکسیژن (Reactive Oxygen Species) شامل اکسیژن یکتایی (O<sup>-2</sup>) و رادیکال هیدروکسیل (OH<sup>-</sup>) هستند که در فرآیندهای زیستی به‌طور طبیعی تولید می‌شوند. این گونه‌ها در درمان سرطان به‌عنوان یکی از روش‌های درمانی مورد استفاده قرار می‌گیرند، زیرا می‌توانند باعث تخریب سلول‌های سرطانی شوند به‌طوری‌که می‌تواند با اجزای بیولوژیکی مانند لیپیدها، پروتئین‌ها و اسیدهای نوکلئیک واکنش داشته باشد و به آن‌ها آسیب برساند و درمان سرطان را تسریع کند. استفاده از نانوذرات در فتودینامیک‌تراپی برای درمان بسیاری از بیماری‌ها از جمله سرطان، عفونت‌ها و بیماری‌های عروقی مورد بررسی قرار گرفته است.

**مواد و روش‌ها:** در این پژوهش نانوذرات استرانسیوم تیتانات با روش سولووترمال ساخته شدند و برای اولین بار، توانایی این نانوذرات در تولید گونه‌های فعال اکسیژن از جمله رادیکال هیدروکسیل و اکسیژن یکتایی در تحریک با پرتو UVA بررسی شد.

**یافته‌ها:** نانوذرات استرانسیوم تیتانات به دلیل ویژگی‌های خاص خود، می‌توانند به‌طور انتخابی در سلول‌های سرطانی تجمع و با تابش نور متعادل شده، ROS تولید کنند. این ROS می‌تواند باعث آسیب رساندن به سلول‌های سرطانی شوند و در نهایت منجر به مرگ آنها شوند.

**نتیجه‌گیری:** با توجه به نتایج به‌دست‌آمده از طیف جذب محلول‌های شناساگرها مشخص شد که نانوذرات استرانسیوم تیتانات توانسته‌اند رادیکال هیدروکسیل و اکسیژن یکتایی تولید کنند و توانایی نانوذرات استرانسیوم تیتانات در تولید گونه‌های فعال اکسیژن مورد تأیید قرار گرفت و نانوذرات می‌توانند به‌عنوان حساس‌گر نوری در روش فتودینامیک‌تراپی برای درمان سرطان مورد استفاده قرار بگیرند.

**واژه‌های کلیدی:** استرانسیوم تیتانات، فتودینامیک‌تراپی، متیلن بلو، آتراسن، گونه‌های فعال اکسیژن

بهاره محمدزاده<sup>1</sup>

احسان صادقی<sup>2\*</sup>

مصطفی زاهدی‌فر<sup>5\*</sup>

1. دانشجوی دکتری علوم و فناوری نانو، پژوهشکده علوم و فناوری نانو، دانشگاه کاشان، کاشان، ایران.

2. دانشیار گروه نانوفیزیک، پژوهشکده علوم و فناوری نانو، دانشگاه کاشان، کاشان، ایران.

3. دانشیار گروه فیزیک، دانشکده فیزیک، دانشگاه کاشان، کاشان، ایران.

4. استاد گروه نانوفیزیک، پژوهشکده علوم و فناوری نانو، دانشگاه کاشان، کاشان، ایران.

5. استاد گروه فیزیک، دانشکده فیزیک، دانشگاه کاشان، کاشان، ایران.

نویسنده مسئول: دکتر احسان صادقی

پست الکترونیک:

[sdgh@kashanu.ac.ir](mailto:sdgh@kashanu.ac.ir)

تماس

شماره  
02145012042

:

## مقدمه

خصوصیت، نانوذرات را از دیگر ذرات متمایز و برجسته می‌کند و می‌توان در حوزه پزشکی و درمان سرطان به خوبی از آنها بهره برد [7].

استرانسیوم تیتانات ( $\text{SrTiO}_3$ ) یک پروسکایت چندمنظوره سرمایی با فرمول ساختاری  $\text{ABO}_3$  و ثابت شبکه 0/3905 نانومتر است. ساختار بلوری آن، از واحدهای 8 ضلعی  $\text{BO}_6$  ساخته شده که در یک ساختار مکعبی قرار گرفته‌اند و یون‌های اکسیژن در گوشه‌ها قرار دارند. یون  $\text{Ti}^{4+}$  توسط 6 یون  $\text{O}^{2-}$  احاطه شده در حالی که هر یک از یون‌های  $\text{Sr}^{2+}$  توسط چهار  $\text{TiO}_6$  احاطه گردیده است؛ بنابراین هر یون  $\text{Sr}^{2+}$  توسط 12 یون اکسیژن محاصره شده است. در داخل  $\text{TiO}_6$ ، یک هیبریداسیون  $2p$  اکسیژن با حالت  $3d$  تیتانیوم منجر به پیوند کووالانسی شده‌اند و یون‌های  $\text{Sr}^{2+}$  و  $\text{O}^{2-}$  پیوندهای یونی تشکیل داده‌اند؛ بنابراین استرانسیوم تیتانات دارای خواص پیوندهای یونی - کووالانسی است [8].  $\text{STO}$  به علت خواص فیزیکی و شیمیایی متفاوت از جمله؛

رسانایی الکتریکی و یونی، انعطاف پذیری، دی‌الکتریک قابل تنظیم و سایر خواص وابسته به میدان، بسیار مورد توجه قرار گرفته است [9]. استرانسیوم تیتانات در باتری‌ها [10]، سلول خورشیدی [11]، فوتوکاتالیست‌ها [12]، سنسورها [13] و غیره کاربرد دارد. همچنین دارای پتانسیل بسیار در کاربردهای الکتریکی، اپتوالکتریکی، مغناطیسی و میکروالکترونیک می‌باشد [8]. در میان مواد مبتنی بر تیتانیوم، استرانسیوم تیتانات یک فوتوکاتالیست پروسکایتی با مزایای بسیاری می‌باشد که به علت دارا بودن گاف انرژی در حدود  $3/2$  الکترون ولتی، تنها به محدوده نور UV واکنش می‌دهد و تحقیقات نشان می‌دهد که دوپ کردن عناصر فلزی به این پروسکایت سبب کمتر شدن گاف انرژی و تغییر جذب از محدوده UV به مرئی گردیده است [14]. اخیراً نشان داده شده است که  $\text{SrTiO}_3$  یک ماده زیست سازگار جذاب می‌باشد که جزء مهم استخوانی آکرلیک تزریقی برای ورتبروپلاستی و همچنین پوشش فعال ایمپلنت‌های مبتنی بر Ti است که یون‌های  $\text{Sr}^{2+}$  را آزاد می‌کند و توانایی درمان پوکی استخوان را دارد [15]. روش‌های شیمیایی متنوعی برای تولید نانوذرات استرانسیوم تیتانات وجود دارد از جمله: سل ژل [16]، هیدروترمال [17]، سولواترمال [18] و هم‌رسوبی [19]. در این پژوهش نانوذرات استرانسیوم تیتانات با هدف ساختارشناسی و

در تشکیل بافت‌های مختلف بدن مشارکت دارند. تقسیم و تکثیر سلولی باید به دقت تنظیم شده و فرآیند همانندسازی به درستی انجام گیرد. عوامل بسیاری در رشد صحیح سلول طبیعی دخالت می‌کنند و تکثیر سلول تنها زمانی که تحت کنترل دقیق باشد، مناسب بوده و در صورتی که به درستی تنظیم نشده باشد سرطان ایجاد می‌شود که می‌تواند عملکرد و رفتار طبیعی سلول‌ها را مختل کند [1]. از بین بردن سلول‌های سرطانی به صورت انتخابی، یکی از چالش‌های اصلی در درمان سرطان است. داروهای شیمی درمانی استاندارد و رادیوتراپی اغلب نمی‌توانند تومورها را ریشه کن کنند و در درمان، بین سلول سرطانی در حال تکثیر و سلول‌های سالم، تمایزی قائل نمی‌شوند. علاوه بر این، اکثر داروهای مورد استفاده در شیمی درمانی جهش‌زا هستند و منجر به شروع بدخیمی‌های ثانویه ناشی از درمان می‌گردند [2].

فتودینامیک تراپی (PDT)<sup>1</sup> یک فرآیند سه‌گانه است که به حضور هم‌زمان حساس‌گر نوری (Ps)<sup>2</sup>، نور و مولکول اکسیژن نیاز دارد در حالی که هر کدام از این عوامل به صورت جداگانه بی‌ضرر می‌باشند اما حضور هم‌زمان آنها منجر به تولید گونه‌های فعال اکسیژن (ROS)<sup>3</sup> می‌گردد. این گونه‌های فعال در مجاورت با سلول‌های ناسالم و یا تومورهای سرطانی باعث ایجاد مرگ سلولی می‌شوند [3, 4]. حساس‌گرهای نوری نقش مهمی در PDT دارند و می‌توانند به طور انتخابی در بافت‌های تومور انباشته شوند و توسط تابش با طول موج خاصی از نور، گونه‌های فعال اکسیژن تولید کنند. حداقل تهاجم، میزان درمان بالا و عوارض جانبی کم از جمله خصوصیات فتودینامیک تراپی است که آن را جایگزین مناسبی برای درمان مرسوم سرطان می‌کند [5]. نانوتکنولوژی یکی از مهمترین دستاوردهای قرن اخیر است که نقش مهمی را در علوم فیزیک، شیمی، زیست و علوم بین رشته و پزشکی ایفا می‌کند [6]. نانوذرات در حدود 10-100 نانومتر به علت اندازه کوچک و نسبت سطح به حجم بالایی که دارند، دارای واکنش پذیری بسیار زیادی نسبت به ذرات میکرو می‌باشند که این

1. Photodynamic therapy

2. Photosensitizer

3. Reactive Oxygen speices

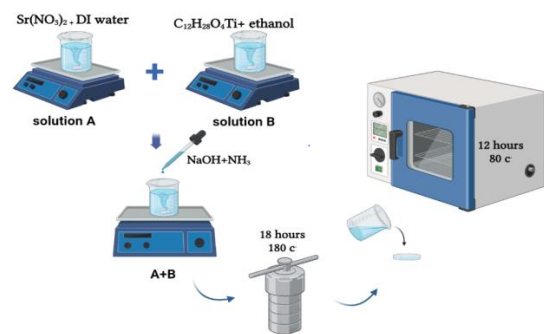
دستگاه UV-VIS ثبت شد. سپس محلول به مدت 60 دقیقه با منبع نور UVA پرتودهی شده و مجدداً طیف جذبی آن ثبت شد. در مرحله بعد 0/0001 گرم از نانوذرات به 1/5 سی سی محلول آنتراسن اضافه شده و همزده شد تا یک محلول کلونیدی بدست آید و قبل و بعد از پرتودهی با پرتودهی UVA، طیف‌های جذبی آنها ثبت شد. در نهایت تمامی نمودارهای طیف جذب برای بررسی میزان کاهش شدت جذب و تولید اکسیژن یکتایی مورد بررسی قرار گرفت. به منظور ساخت محلول متیلن‌بلو و میزان تولید رادیکال آزاد هیدروکسیل، 0/001 گرم از متیلن‌بلو در 50 سی سی آب دیونیزه حل شد. سپس 1/5 سی سی از محلول فوق در مدت 60 دقیقه با منبع نور UVA پرتودهی و طیف جذب آن ثبت شد. در ادامه مقدار 0/0001 گرم از نانوذرات به 1/5 سی سی محلول متیلن‌بلو اضافه شد و همزده شد تا یک محلول کلونیدی بدست آید. سپس طیف جذب محلول قبل و بعد از پرتودهی با نور UVA به مدت 60 دقیقه، ثبت و بررسی شد. قابل ذکر است که طول موج و توان منبع پرتوی UVA به ترتیب در محدوده 365 نانومتر و  $0/21 \text{ mW/cm}^2$  است. در انتها جهت بررسی فازهای بلوری و خصوصیات ساختاری نانوذرات ساخته شده از دستگاه پراش اشعه ایکس (XRD) و پرتوی  $\text{CuK}\alpha$  مدل diffractometer Rigakud-MaxCIII استفاده شد. مطالعات ساختارشناسی و مورفولوژی با استفاده از میکروسکوپ الکترونی روبشی (SEM) با مدل Tescan-SEM MiRA3 بررسی گردید. جهت بررسی گروه‌های عاملی از طیف‌سنجی مادون‌قرمز تبدیل فوریه (FTIR) مدل MagnaIR550 استفاده گردید.

### یافته‌ها

الگوی تفرق اشعه ایکس (XRD) و طیف تفکیک انرژی پرتوی ایکس (EDX)

الگوی پراش اشعه ایکس نانوذرات استرانسیوم تیتانات تحت زوایای  $2\theta = 10-80$  درجه در شکل (A-2) نشان داده شده است.

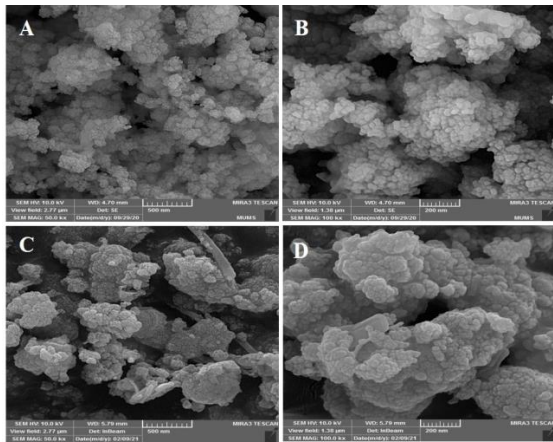
بررسی میزان توانایی آنها در تولید گونه‌های فعال اکسیژن ساخته شدند. تولید گونه‌های فعال اکسیژن می‌تواند مهار سلول سرطانی با روش فوتودینامیک‌تراپی مورد استفاده قرار بگیرد.



شکل 1- طرح‌واره‌ای از سنتز نانوذرات استرانسیوم تیتانات به روش سولووترمال.

### مواد و روش‌ها

در این پژوهش نانوذرات استرانسیوم تیتانات جهت ساختارشناسی و بررسی توانایی تولید گونه‌های فعال اکسیژن ساخته شدند. در روش سنتز نانوذرات به روش سولووترمال همان‌طور که در شکل (1) نشان داده شده است، ابتدا پیش ماده‌های لازم برای ساخت شامل: استرانسیوم نیترات  $\text{Sr}(\text{NO}_2)_3$ ، تیتانیوم ایزوپروپوکساید  $(\text{C}_{12}\text{H}_{28}\text{O}_4\text{Ti})$ ، آمونیاک  $(\text{NH}_3)$  و سود  $(\text{NaOH})$  از شرکت مرک (Merck) آلمان تهیه گردیدند. مقدار 1/411 گرم از پودر استرانسیوم نیترات به 30 میلی لیتر آب دیونیزه اضافه شد (محلول A) و مقدار 30 میلی لیتر از محلول 0/2 مولار تیتانیوم و اتانول آماده گردید (محلول B). سپس محلول (B) به آرامی به محلول (A) اضافه شد و محلول سود به همراه آب دیونیزه و آمونیاک به صورت قطره‌قطره به محلول فوق اضافه گردید. محلول سفیدرنگ حاصل، در اتوکلاو و با دمای 180 درجه سانتی‌گراد، در مدت 18 ساعت قرار داده شد و پس از شست‌وشوی محلول با آب دیونیزه و اتانول، به مدت 12 ساعت و در دمای 80 درجه سانتی‌گراد خشک گردید. جهت بررسی گونه‌های فعال اکسیژن از شناساگرهای متیلن‌بلو (Methylene blue) و آنتراسن (Anthracene) استفاده شد. بدین منظور هرکدام از محلول‌های فوق به صورت مجزا ساخته شدند. برای ساخت محلول آنتراسن و بررسی میزان تولید اکسیژن یکتایی، در ابتدا 0/001 گرم آنتراسن در اتانول حل شده و طیف جذب 1/5 سی سی از محلول توسط

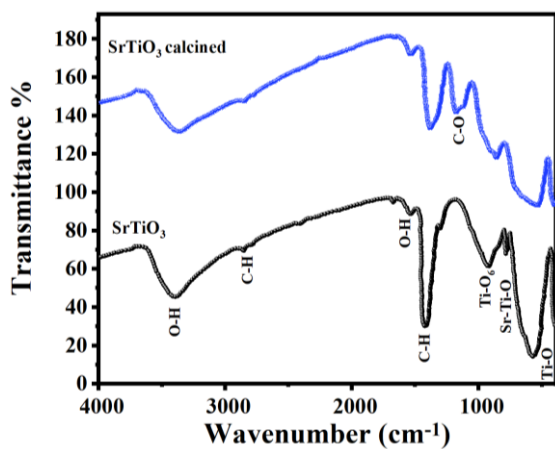


شکل 3- طیف SEM نانوذرات استرانسیوم تیتانات کلسینه نشده با مقیاس 500 و 200 نانومتر (A) و (B)، نانوذرات استرانسیوم تیتانات کلسینه شده با مقیاس 500 و 200 نانومتر (C) و (D).

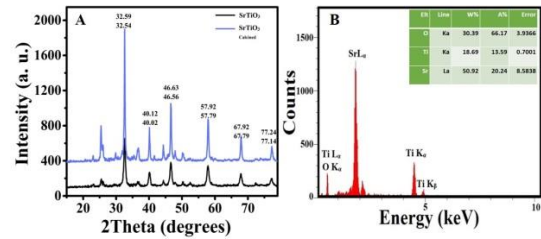
با توجه به تصاویر تهیه شده از نمونه می توان دریافت که اندازه ی بلورک ها پس از کلسینه، افزایش یافته و ذرات برای رسیدن به پایین ترین سطح انرژی، تمایل به چسبیدن به یکدیگر و تشکیل نانوذرات بزرگتری را داشته اند. همچنین ساختار نانوبلورک ها کروی و یکنواخت می باشد.

#### طیف جذبی مادون قرمز (FTIR)

به منظور تأیید تشکیل لیگاندهای ساخته شده و برای شناسایی مولکول ها و گروه های عاملی از طیف سنج مادون قرمز (FT-IR) استفاده شد. طیف های FTIR نانوذرات استرانسیوم تیتانات کلسینه شده و کلسینه نشده در شکل (4) نشان داده شده است.



شکل 4- طیف FTIR نانوذرات استرانسیوم تیتانات ساخته شده به روش سولواترمال.



شکل 2- طیف XRD نانوذرات استرانسیوم تیتانات کلسینه نشده و کلسینه شده (A) و طیف EDX نانوذرات استرانسیوم تیتانات (B).

فاز بلوری مربوط به این نانوذرات، فاز مکعبی با ثابت شبکه  $a=3/93 \text{ \AA}$  می باشد و با شماره کارت استاندارد 040-1500-00 مطابقت دارد [20]. اندازه بلورک ها را از یک قله بیشینه طیف XRD می توان تخمین زد. رابطه شرر وابستگی اندازه ذرات به گسترده گی و پهن شدن خطوط پراش را به خوبی نشان می دهد:

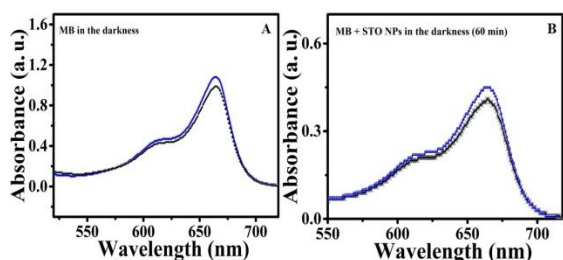
$$D_{hkl} = \frac{k\lambda}{\beta \cos\theta} \quad (1)$$

در این رابطه D اندازه ی متوسط بلورک ها، طول موج پرتوی X تابشی، k فاکتور شکل که به طور قراردادی برابر با 0/9 است و  $\beta$  پهنای کامل در نیم بیشینه مربوط به قله های اصلی (FWHM) برای دسته صفحات hkl و  $\theta$  زاویه براگ است. با توجه به رابطه شرر و جایگذاری مقدار پهنای نیم بیشینه و بلندترین قله در آن و بقیه مقادیر، اندازه متوسط بلورک ها در حالت کلسینه نشده برابر با 20 نانومتر و در حالت کلسینه شده برابر با 23 نانومتر می باشد. تصویر آنالیز انرژی پراش اشعه X، نانوذرات استرانسیوم تیتانات شکل (2-B) نمایش داده شده است. این آنالیز حضور عناصر تیتانیوم، استرانسیوم و اکسیژن مربوط به نانوذرات را تأیید می کند.

#### تصویر میکروسکوپ الکترونی روبشی (SEM)

روش های متنوعی برای شناسایی و آنالیز مواد وجود دارد که یکی از معروف ترین آنها، روش های میکروسکوپی می باشد که می توان با کمک آنها تصاویر بزرگ نمایی شده از نمونه را مشاهده کرد. تصویر الکترون روبشی نانوذرات استرانسیوم تیتانات ساخته شده به روش سولواترمال کلسینه شده تحت دمای 600 درجه سانتی گراد و کلسینه نشده، توسط دستگاه SEM با مقیاس 500 و 200 در شکل (3) نشان داده شده است.

و محلول حاوی نانوذرات و متیلن‌بلو در تاریکی و فقدان نور بررسی شد و این میزان بسیار کم بوده که این بررسی عدم سمیت متیلن‌بلو و نانوذرات را در فقدان نور نشان می‌دهد و نمودارهای آن در شکل (5) نشان داده شده است (گروه کنترل).



شکل 5- شناسایی و آشکارسازی رادیکال هیدروکسیل محلول حاوی شناساگر متیلن‌بلو به‌تنهایی (A) و محلول حاوی متیلن‌بلو و نانوذرات (B) در تاریکی پس از گذشت 60 دقیقه (گروه کنترل).

همچنین نمودارهای جذب قبل و بعد از پرتودهی متیلن‌بلو و نانوذرات استرانسیوم تیتانات با پرتودهی UVA در طول موج 665 نانومتر در شکل (6-A) نشان داده شده است. پرتوی UVA، طیف جذب متیلن‌بلو به‌تنهایی را به مقدار بسیار ناچیزی کاهش داده است اما محلول حاوی متیلن‌بلو و نانوذرات استرانسیوم تیتانات سبب کاهش 50 درصدی در شدت جذب گردیده است که نشان‌دهنده‌ی تولید خوب رادیکال هیدروکسیل توسط این نانوذرات و شناسایی آن‌ها توسط شناساگر متیلن‌بلو می‌باشد و می‌توان دریافت که پرتوی UVA جهت تولید رادیکال هیدروکسیل مناسب می‌باشد. یکی دیگر از گونه‌های فعال اکسیژن که نقش بسیار مهمی را در فرآیند اکسیداسیون و مرگ سلولی دارد، اکسیژن یکتایی است. جهت آشکارسازی اکسیژن یکتایی از شناساگر آنتراسن استفاده می‌گردد [24]. آنتراسن یک شناساگر فلورسانس می‌باشد که در اثر تبدیلات داخلی و تولید اکسیژن یکتایی، تبدیل به آنتراکینون می‌شود و از آنجایی که نشر و جذب آنتراکینون نسبت به آنتراسن ضعیف‌تر است، در صورت تولید اکسیژن یکتایی و انجام این تبدیل، نشر یا جذب آنتراسن کاهش خواهد یافت. به همین دلیل کاهش شدت جذب آنتراسن نشان‌دهنده تولید اکسیژن یکتایی می‌باشد. نمودار جذب آنتراسن به‌تنهایی و با نانوذرات استرانسیوم تیتانات، قبل و بعد از پرتودهی با نور UVA در طول محدوده موج‌های 325-380 نانومتر مورد بررسی قرار گرفته است و شکل (6-B) این نمودارها را نشان می‌دهد. با توجه به

قله‌های جذب حدود  $950\text{ cm}^{-1}$  و  $440\text{ cm}^{-1}$  را می‌توان به ترتیب به وجود کشش هشت‌وجهی  $\text{Ti-O}_6$  و ارتعاشات خمشی  $\text{Ti-O}$  نسبت داد. قله جذب در  $640\text{ cm}^{-1}$  مربوط به ارتعاش کششی  $\text{Sr-Ti-O}$  در  $\text{SrTiO}_3$  است [21]. قله جذب در ناحیه‌ی  $3430\text{ cm}^{-1}$  و  $1630\text{ cm}^{-1}$  مربوط به ارتعاشات کششی و خمشی  $\text{O-H}$  آب است که روی سطح مولکول جذب شده است و یا نمایانگر برخی پیوندهای هیدروکسیل است [22]. باند جذبی در  $1100\text{ cm}^{-1}$  مربوط به ارتعاشات کششی  $\text{C-O}$  است. قله‌های جذب در محدوده  $2850\text{ cm}^{-1}$ ،  $1385\text{ cm}^{-1}$  و  $1456\text{ cm}^{-1}$  مربوط به ارتعاشات خمشی پیوند  $\text{C-H}$  مربوط می‌شود. عدم وجود پیک‌های ناخالصی در طیف FTIR به‌وضوح تشکیل نانوساختارهای خالص  $\text{SrTiO}_3$  را تأیید می‌کند. [23]

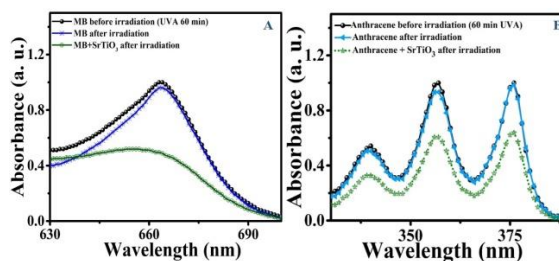
### آشکارسازی گونه‌های فعال اکسیژن

یکی از گونه‌های فعال اکسیژن که در درمان فتودینامیک از آن استفاده می‌شود، رادیکال هیدروکسیل است که برای شناسایی این رادیکال و بررسی تولید آن از شناساگر متیلن‌بلو استفاده می‌گردد و طی واکنش طولانی اکسیداسیون خود، تخریب و در نهایت به آب و کربن دی‌اکسید تبدیل می‌گردد. هنگامی که رنگ متیلن‌بلو توسط اکسیداسیون تغییر می‌کند، هم نشر و هم جذب نور کاهش می‌یابد و می‌تواند اندازه‌گیری شود. به محض اینکه فوتوکاتالیست در معرض نور UV قرار گرفت، الکترون‌ها از باند ظرفیت به باند رسانش برانگیخته می‌شوند و با اکسیژن در سطح، واکنش نشان می‌دهد تا یون‌های سوپراکسید ( $\text{O}_2^-$ ) تشکیل شود، سپس برای تولید رادیکال‌ها پروتونه می‌شوند. در این فرآیند اکسیداسیون، حفره‌های باند ظرفیت ( $h^+$ ) با آنیون‌های هیدروکسید برای ایجاد رادیکال‌های هیدروکسیل تعامل دارند. تولید رادیکال‌های آزاد منجر به تخریب رنگ متیلن‌بلو می‌گردد [24]. با مطالعه طیف جذبی و لومینسانس متیلن‌بلو، به‌طور غیرمستقیم می‌توان تولید رادیکال هیدروکسیل را به اثبات رساند، بدین‌صورت که هرچه رادیکال هیدروکسیل بیشتری تولید شده باشد، مقدار متیلن‌بلو بیشتری به آب و کربن دی‌اکسید تبدیل گشته و شدت جذب یا نشر متیلن‌بلو با کاهش بیشتری روبه‌رو خواهد بود. در ابتدا توانایی تولید رادیکال هیدروکسیل توسط محلول متیلن‌بلو به‌تنهایی

### نتیجه گیری

نانوذرات استرانسیوم تیتانات با استفاده از روش سولووترمال ساخته شدند. در آنالیزهای انجام شده تشکیل نانوذرات با ساختار بلوری مناسب تأیید شد که نشان دهنده صحت روش ساخت نانوذرات می باشد و اندازه بلورک نانوذرات کلسینه نشده در حدود 20 نانومتر و نانوذرات کلسینه شده در حدود 23 نانومتر با استفاده از فرمول شرر و طیف XRD تخمین زده شد و با استفاده از آنالیز SEM، مورفولوژی نانوذرات بررسی شد و نشان داده شد که نانوذرات پس از کلسینه تمایل به چسبندگی بیشتر برای رسیدن به حداقل انرژی را داشته اند. امکان استفاده از نانوذرات استرانسیوم تیتانات در درمان سرطان به روش فتودینامیک تراپی برای اولین بار، با استفاده از شناساگرهای متیلن بلو و آنتراسن برای آشکارسازی رادیکال هیدروکسیل و اکسیژن یکتایی مورد بررسی قرار گرفت. با توجه به نتایج بدست آمده، نانوذرات با پرتودهی UVA توانایی کاهش 50 درصدی در شدت جذب شناساگر متیلن بلو را داشته و تولید رادیکال هیدروکسیل تأیید شد. همچنین تخریب ساختار شناساگر آنتراسن و کاهش شدت جذب آن پس از پرتودهی UVA در حضور نانوذرات حاکی از تولید اکسیژن یکتایی توسط نانوذرات می باشد. نتایج به دست آمده، نانوذرات استرانسیوم تیتانات را کاندیدایی مناسب در استفاده در درمان سرطان به روش فتودینامیک تراپی نشان می دهند.

نمودارهای جذب، محلول آنتراسن به تنهایی با نور UVA توانایی تولید اکسیژن یکتایی را ندارد و شدت جذب محلول آنتراسن را به میزان بسیار کمی کاهش داده است اما شدت جذب محلول حاوی آنتراسن و نانوذرات استرانسیوم تیتانات کاهش 40 درصدی داشته و تولید اکسیژن یکتایی توسط نانوذرات با پرتودهی UVA تأیید می گردد و پرتوی UVA برای تولید اکسیژن یکتایی مناسب می باشد. به صورت کلی نانوذرات توانایی تولید گونه های فعال اکسیژن را داشته و این گونه ها می توانند در مهار سلول سرطانی اثر مطلوبی را از خود نشان دهند و نانوذرات استرانسیوم تیتانات کاندید خوبی برای فتودینامیک تراپی می باشند.



شکل 6- شناسایی و آشکارسازی رادیکال هیدروکسیل و اکسیژن یکتایی توسط نانوذرات استرانسیوم تیتانات ساخته شده به روش سولووترمال با استفاده از شناساگرهای متیلن بلو (A) و آنتراسن (B) و پرتودهی شده توسط پرتو UVA.

## References

- 1- P. S. Hegde and D. S. Chen, "Top 10 challenges in cancer immunotherapy," *Immunity*, vol. 52, pp. 17-35, 2020.
- 2- F. Ciccarese, V. Raimondi, E. Sharova, M. Silic-Benussi, and V. Ciminale, "Nanoparticles as tools to target redox homeostasis in cancer cells," *Antioxidants*, vol. 9, p. 211, 2020.
- 3- Q. Zhang, Q. Luo, Z. Liu, M. Sun, and X. Dong, "Nano-ROS-generating approaches to cancer dynamic therapy: lessons from nanoparticles," *Chemical Engineering Journal*, vol. 457, p. 141225, 2023.
- 4- M. Karimi, E. Sadeghi, S. Khosravi Bigdeli, and M. Zahedifar, "Optical properties, singlet oxygen, and free radical production ability with different UV irradiations and antimicrobial inhibitors against various bacterial species of ZnO: Eu nanoparticles," *Radiation Physics and Chemistry*, vol. 212, p. 111132, 2023/11/01/ 2023.
- 5- M. Yi, B. Xiong, Y. Li, W. Guo, Y. Huang, and B. Lu, "Manipulate tumor hypoxia for improved photodynamic therapy using nanomaterials," *European Journal of Medicinal Chemistry*, vol. 247, p. 11, 2023.
- 6- M. Karimi, M. Zahedifar, E. Sadeghi, and B. Mohammadzadeh, "Comparison of green and chemical synthesis of tin oxide nanoparticles via co-precipitation technique and analysis of its optical properties," *Journal of Nanostructures*, pp. , 2022.
- 7- b. Mohammadzadeh, e. Sadeghi, and m. Zahedifar, "Synthesis, characterization and evaluation of the ability to produce reactive oxygen species of doxorubicin-titanium oxide nanoparticles using UVC radiation," *Laser in Medicine*, vol. 18, pp. 17-22, 2021.
- 8- M. L. Crespillo, J. T. Graham, F. Agulló-López, Y. Zhang, and W. J. Weber, "Recent advances on carrier and exciton self-trapping in strontium titanate: understanding the luminescence emissions," *Crystals*, vol. 9, p. 95, 2019.
- 9- K. Aravinthkumar, E. Praveen, A. J. R. Mary, and C. R. Mohan, "Investigation on SrTiO<sub>3</sub> nanoparticles as a photocatalyst for enhanced photocatalytic activity and photovoltaic applications," *Inorganic Chemistry Communications*, vol. 140, p. 109451, 2022.
- 10- C. P. P. Wong, C. W. Lai, K. M. Lee, G. T. Pan, K. B. Chong, M. R. Johan, *et al.*, "A high-capacity of oxygen induced SrTiO<sub>3</sub> cathode material for rechargeable Alkaline Zinc battery," *Materials Science in Semiconductor Processing*, vol. 130, p. 105802, 2021.
- 11- K. Aravinthkumar and C. R. Mohan, "Promoting active sites of Fe<sup>3+</sup> ions in SrTiO<sub>3</sub> nanosphere: A superior candidate for high performances of Dye-sensitized solar cell and Photocatalytic dye degradation," *Colloids and Surfaces A: Physicochemical and Engineering Aspects*, p. 131702, 2023.
- 12- K. Han, W. Li, C. Ren, H. Li, X. Liu, X. Li, *et al.*, "Dye-sensitized SrTiO<sub>3</sub>-based photocatalysts for highly efficient photocatalytic hydrogen evolution under visible light," *Journal of the Taiwan Institute of Chemical Engineers*, vol. 112, pp. 4-14, 2020/07 2020.
- 13- P. Cheng, L. Wang, Y. Pan, H. Yan, D. Gao, J. Wang, *et al.*, "Fiber Bragg grating temperature sensor of cladding with SrTiO<sub>3</sub> thin film by pulsed laser deposition," *Laser Physics*, vol. 29, p. 025107, 2019.



- 14- Z. Zhao, X. Zhang, Y. Lei, P. Yang, J. Fan, B. Zhang, *et al.*, "Exceptional photocatalytic activity for Ag, Cr- SrTiO<sub>3</sub> activated by H<sub>2</sub>O<sub>2</sub> for removal of organic pollutants," *Materials Research Express*, vol. 7, p. 015034, 2020.
- 15- R. Pazik, A. Zięcina, B. Poźniak, M. Malecka, L. Marciniak, and R. J. Wiglusz, "Up-conversion emission and in vitro cytotoxicity characterization of blue emitting, biocompatible SrTiO<sub>3</sub> nanoparticles activated with Tm<sup>3+</sup> and Yb<sup>3+</sup> ions," *RSC Advances*, vol. 6, pp. 39469-39479, 2016.
- 16- T. Hussain, M. Junaid, and H. Qayyum, "Preparation of Ba-doped SrTiO<sub>3</sub> photocatalyst by sol-gel method for hydrogen generation," *Chemical Physics Letters*, vol. 754, p. 137741, 2020.
- 17- K. Kiran, R. Shashanka, and S. Lokesh, "Enhanced photocatalytic activity of hydrothermally synthesized perovskite Strontium titanate nanocubes," *Topics in Catalysis*, pp. 1-10, 2022.
- 18- X. Yu, Y. Lin, H. Liu, C. Yang, Y. Peng, C. Du, *et al.*, "Photocatalytic performances of heterojunction catalysts of silver phosphate modified by PANI and Cr-doped SrTiO<sub>3</sub> for organic pollutant removal from high salinity wastewater," *Journal of colloid and interface science*, vol. 561, pp. 379-395, 2020.
- 19- Y.-C. Lin, D. K. Wang, J.-Y. Liu, A. Niaei, and H.-H. Tseng, "Low band-gap energy photocatalytic membrane based on SrTiO<sub>3</sub>-Cr and PVDF substrate: BSA protein degradation and separation application," *Journal of Membrane Science*, vol. 586, pp. 326-337, 2019.
- 20- H. Bantawal, U. S. Shenoy, and D. K. Bhat, "Tuning the photocatalytic activity of SrTiO<sub>3</sub> by varying the Sr/Ti ratio: unusual effect of viscosity of the synthesis medium," *The Journal of Physical Chemistry C*, vol. 122, pp. 20027-20033, 2018.
- 21- V. Deshmukh, C. Ravikumar, M. A. Kumar, S. Ghotekar, A. N. Kumar, A. Jahagirdar, *et al.*, "Structure, morphology and electrochemical properties of SrTiO<sub>3</sub> perovskite: Photocatalytic and supercapacitor applications," *Environmental Chemistry and Ecotoxicology*, vol. 3, pp. 241-248, 2021.
- 22- P. S. Aktaş and E. Ay, "Influence of Synthesis Procedures on the Preparation of Strontium Titanate Nanoparticles and Photocatalytic Application for Methylene blue degradation," 2022.
- 23- Z. Wu, Y. Zhang, X. Wang, and Z. Zou, "Ag@SrTiO<sub>3</sub> nanocomposite for super photocatalytic degradation of organic dye and catalytic reduction of 4-nitrophenol," *New Journal of Chemistry*, vol. 41, pp. 5678-5687, 2017.
- 24- M. Karimi, E. Sadeghi, M. Zahediar, M. Nejati, H. Mirzaei, and M. R. Hamblin, "In Vitro Study: Green Synthesis and Evaluation of MgO/C-dots/DOX Phosphorescent Nanocomposites for Photodynamic/Photocatalytic Therapy of Tumors," *Frontiers in Bioengineering and Biotechnology*, vol. 11, p. 1286955.